

УДК 550.42

ГЕОХИМИЯ

Ю. А. ДОЛГОВ, Н. В. ВАСИЛЬЕВ, Н. А. ШУГУРОВА, Ю. А. ЛЬВОВ,  
Ю. Г. ЛАВРЕНТЬЕВ, Ю. А. ГРИШИН

## ХИМИЧЕСКИЙ СОСТАВ СИЛИКАТНЫХ ШАРИКОВ ИЗ ТОРФОВ РАЙОНА ПАДЕНИЯ ТУНГУССКОГО МЕТЕОРИТА

(Представлено академиком В. С. Соболевым 22 VI 1970)

Состав силикатной составляющей космической пыли в настоящее время исследован слабо. Есть только единичные публикации в этой области<sup>(1)</sup>. Сведения о составе газовой фазы, включенной в частицы космической пыли, в доступной нам литературе отсутствуют.

Целью настоящей работы было изучение химического состава силикатных микросферул из торфов района Тунгусского падения и состава газов во включениях. Торф как субстрат поисков космического вещества имеет ряд преимуществ перед почвой: он поддается стратификации, вторичное его переотложение практически исключено, есть возможность выделения из него не только магнетитовой, но и силикатной фракции космической пыли. Следовательно, в отличие от анализа микросферул из почвы<sup>(1)</sup>, исследование торфа дает возможность анализа силикатных частиц с хронологией их выпадения.

Суть методики работы состояла в следующем. Образцы торфа из района падения Тунгусского метеорита обрабатывались отмыvkой на ситах и последующим сжиганием органики при температуре 600°<sup>(2)</sup>. Для анализов использовались шарики, извлеченные из слоя торфа, расположенного на глубине 27—36 см и включающего в себя прирост мха 1908 г. Кроме того, несколько шариков было извлечено из отмытых неотожженных проб.

Шарики из отожженных проб по внешнему виду можно разделить на четыре группы: 1) прозрачные бесцветные; 2) прозрачные голубовато-зеленые; 3) непрозрачные (белые и цветные); 4) черные. Размер шариков всех групп колеблется от 10 до 180 μ, хотя встречаются единичные частицы 1-й и 3-й групп диаметром до 1,4 мм. Как правило, в шариках 1-й и 2-й групп есть газовые включения различного объема. Довольно часто встречаются пустотелые шарики, в стенках которых имеются мельчайшие пузырьки газа, а также шарики «пенистые», т. е. со множеством мелких газовых включений (см. рис. 1).

В неотожженных пробах обнаружены шарики 1-й группы диаметром 20—40 μ и 4-й группы диаметром 20—40 μ. Прозрачные шарики из этих проб чаще всего полые, с толщиной стенок 1—3 μ.

Шарики 1-й и 2-й групп из отожженных проб были исследованы на рентгеноспектральном микрозонде «Самеса» в Институте геологии и геофизики Сибирского отделения АН СССР. Состав их приведен в табл. 1. Можно отметить, что вещество шариков не гомогенно и состав их меняется от точки к точке в пределах 3—5% от содержания элемента. Это нашло свое отражение в суммах анализов. Для шариков характерно также высокое содержание натрия. Следствием является, очевидно, относительно низкая температура плавления сферул (700—750°).

Был также проведен волюметрический микроанализ газов из включений в шариках из отожженных и неотожженных проб. Анализы велись на  $H_2S + SO_2$ ,  $CO_2$ ,  $CO$ ,  $O_2$ ,  $H_2$ , а по остатку определялись  $N_2$  + редкие газы. В группе  $H_2S + SO_2$  возможны также  $NH_3$ ,  $HCl$  и  $HF$ . Чувствитель-

ность метода 0,5—1%, среднеарифметическое отклонение 4%, среднеквадратическое отклонение 0,4%. Результаты анализов приведены в табл. 2. Там же содержатся данные по составу газовых включений из тектитов и обсидианов (3, 4).

Полученные результаты позволяют провести некоторые сравнения состава обнаруженных сферул из района Тунгусского падения с составом: а) земных пород, б) лунных пород, в) метеоритов, г) тектитов и д) сили-

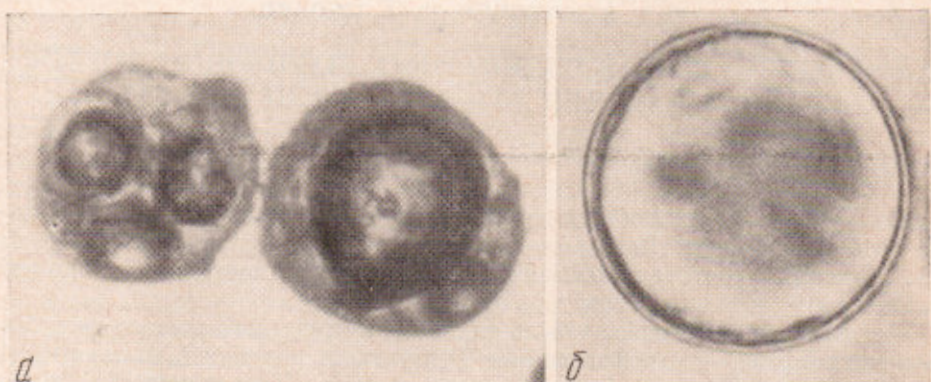


Рис. 1. а — шарики с несколькими пузырьками ( $600\times$ ), б — шарик толстостенный полый ( $1000\times$ ). Снимки в проходящем свете

катной фракции космической пыли из почв района Тунгусского падения по более ранним анализам.

**Микросферулы и земные породы.** По составу микросферулы не похожи ни на какие из известных земных пород. По высокому содержанию кремния ( $\text{SiO}_2$ ) состав обнаруженных шариков близок к гранитам, липаритам и риолитам, аплитам и аляскитам, однако отличается от них высоким содержанием щелочей, в особенности  $\text{Na}_2\text{O}$ . Суммарное значение щелочей находится в пределах 12,5—15,4%.

Таблица 1

№ обр.	$\text{SiO}_2$	$\text{Al}_2\text{O}_3$	$\text{FeO}$	$\text{MgO}$	$\text{CaO}$	$\text{Na}_2\text{O}$	$\text{K}_2\text{O}$	$\text{TiO}_2$	$\text{MnO}$	Сумма
304-1	71	7,79	1,85	0,44	1,07	11,6	1,39	0,36	0,01	95,9
304-2	76,1	3,83	1,61	0,60	2,37	14,2	1,22	0,52	0,02	100,49
304-3	65,2	7,28	3,04	0,48	2,32	11,3	1,16	0,42	0,01	91,22

Коэффициент агпантности по Гольдшмидту и Ферсману составляет для приведенных в табл. 1 анализов 1,9; 2,5; 4,2 соответственно. В системе кремнезем — агпантность (5) фигуративные точки этого соотношения для трех шариков не имеют соответствия с известными земными породами.

**Микросферулы и лунные породы.** По данным предварительного изучения лунных образцов (6), доставленных «Apollo-11», и результатам дальнейших исследований (7) можно отметить, что лунные породы резко отличаются от сферул с места Тунгусского падения по содержанию главных окислов: пониженным содержанием  $\text{SiO}_2$ , резко пониженным содержанием  $\text{Na}_2\text{O}$  и  $\text{K}_2\text{O}$  и высоким содержанием  $\text{TiO}_2$ ,  $\text{FeO}$ ,  $\text{MgO}$  и  $\text{CaO}$ , и лишь содержание  $\text{Al}_2\text{O}_3$  приблизительно одинаково.

Причинами этих различий может быть: а) Луна — негомогенное образование, и можно ожидать находок других пород; б) сферулы, относящиеся к Тунгусскому падению, не представляют собой ни лунного, ни земного материала.

Микросферулы и метеориты. По данным (8, 9), каменные метеориты имеют состав, резко отличающийся от состава описываемых шариков: обычно значительно меньше  $\text{SiO}_2$  и значительно больше  $\text{MgO}$ .

Микросферулы и тектиты. Не приводя детальных сравнений (2, 9), можно отметить, что тектиты явно тяготеют к породам гранитоидного состава, тогда как состав исследуемых шариков сильно отличается от них главным образом повышенным содержанием щелочей и обратным соотношением  $\text{Na}_2\text{O} / \text{K}_2\text{O}$  при близком содержании  $\text{Al}_2\text{O}_3$ ,  $\text{SiO}_2$ ,  $\text{CaO}$ ,  $\text{MgO}$ ,  $\text{Fe}_{\text{общ}}$ .

Таблица 2

№ обр.	$\frac{V_{\text{п}}}{V_{\text{вкл}}}$	$\text{H}_2\text{S} + \text{SO}_2 + \text{NH}_3$	$\text{CO}_2$	$\text{CO}$	$\text{O}_2$	$\text{H}_2$	$\text{N}_2 + \text{редкие газы}$	Группа
Космическая пыль								
Отожженные пробы								
304-4	0,012	4,5	95,5	0	0	0	0	A
304-5	0,019	4,7	95,3	0	0	0	0	A
304-6	0,008	8,0	92,0	0	0	0	0	A
622-1	0,012	0	90,0	0	0	10	0	B
622-2	0,018	0	91,4	0	0	8,6	0	B
132-1	0,43	17,0	83,0	0	0	0	0	A
Неотожженные пробы								
104-1	0,4	5,5 *	57,8	10,3	0	8,6	17,9	B
104-2	0,35	0	46,7	15,9	0	14,9	22,6	B
Тектиты								
Молдавит	0,0016	4,2	53,0	0	0	40,0	2,6	B
Индошинит	0,13	0	91,2	0	0	8,8	0	B
Филиппинит	0,0012	0	100,0	0	0	0	0	

Примечание. Газовые включения в обсидианах по составу делятся на две группы: это либо чистый  $\text{CO}_2$ , либо  $\text{O}_2 + \text{N}_2$  в атмосферном соотношении. Отмеченные звездочкой данные, вероятнее всего, относятся к  $\text{NH}_3$ , так как маловероятно существование  $\text{CO} + \text{H}_2\text{S}$  или  $\text{CO} + \text{SO}_2$ .

Микросферулы и силикатная пыль из почв района Тунгусского падения. Описываемые сферулы отбирались из стратифицированных слоев мха, который, кроме глубины залегания, можно отнести ко времени Тунгусского падения еще и по признаку резкого превышения количества шариков в пробе по сравнению с выше- и нижележащими слоями торфа. Шарики же, описанные в (1), были взяты из почвы, а значит, как отмечают и сами авторы, совершенно не исключена возможность их индустриального происхождения (особенно в последнее десятилетие). Этим, возможно, и объясняется отличие наших результатов от данных (1).

По составу газовых включений шарики четко разделяются на три группы. У шариков из отожженных проб группы А газовая фаза представлена смесью  $\text{CO}_2$  и неразделенными  $\text{H}_2\text{S}$ ,  $\text{SO}_2$  и  $\text{NH}_3$ ; при этом основную роль играет  $\text{CO}_2$ . Состав газовой смеси отожженных шариков группы Б характеризуется смесью  $\text{CO}_2$  и  $\text{H}_2$ . Шарики из неотожженных проб имеют более сложный состав газовой фазы. Отличие состава газа от атмосферного, а также разрежение во включениях ( $V_{\text{п}} / V_{\text{вкл}}$  — отношение объема газа при атмосферном давлении к объему невскрытого включения) свидетельствует о герметичности включений и отсутствии диффузии (в составе газовых смесей включений нет воздушного компонента).

Авторы благодарны Т. Меняцевой, В. Батуриной, С. Грязновой, Н. Коротковой и всем участникам метеоритной экспедиции КСЭ-11, проводившим работу по отбору и обработке космической пыли, а также Н. В. Соболеву за помощь в проведении анализов.

Особую благодарность авторы выражают акад. В. С. Соболеву за внимание, помощь и ценные советы.

Комиссия по метеоритам и космической пыли  
Сибирского отделения Академии наук СССР  
Институт геологии и геофизики  
Сибирского отделения Академии наук СССР  
Новосибирск

Поступило  
12 VI 1970

#### ЦИТИРОВАННАЯ ЛИТЕРАТУРА

- <sup>1</sup> B. P. Glass, Science, 164, № 3879 (1969). <sup>2</sup> Ю. А. Львов, И. В. Антонов и др., Обнаружение космической пыли в некоторых природных объектах Сибири, Новосибирск, 1970. <sup>3</sup> Ю. А. Долгов, Н. А. Шугурова, Ю. Ф. Погребняк, ДАН, 184, № 6 (1969). <sup>4</sup> Ю. А. Долгов, Ю. Ф. Погребняк, Н. А. Шугурова, Геохимия, 5 (1969). <sup>5</sup> К. Б. Зарянов, Тр. Всесоюз. н.-и. инст. пьезооптич. мин. сырья, 4, в. 16 (1960). <sup>6</sup> Science, 164, № 3899, 1211 (1969). <sup>7</sup> S. O. Agrell, J. H. Scepon et al., Science, 167, № 3918 (1970). <sup>8</sup> А. Н. Заваричкий, Л. Г. Кваша, Метеориты СССР, М., 1952. <sup>9</sup> G. R. Megrill, Structure of Meteorites, Washington, 1930, Bull. 149.